

## **MgB<sub>2</sub> : le supraconducteur à 2 gaps**

La transition entre l'état normal (N) et l'état supraconducteur (S) peut se décrire à partir du formalisme de Ginzburg – Landau. La différence de densité d'énergie libre entre ces deux états s'écrit alors (pour le système « supraconducteur + bobine ») :

$$\Delta F = F_s - F_N = \alpha |\psi|^2 + \frac{1}{2} \beta |\psi|^4 + \frac{1}{2m} \left| \frac{\hbar}{i} \vec{\nabla} \psi - q \vec{A} \psi \right|^2 + \frac{\vec{B}^2}{2\mu_0}$$

1) Rappelez comment  $\alpha$  est relié à la longueur de cohérence  $\xi$ . *La température critique est définie comme étant la température pour laquelle le coefficient du terme quadratique s'annule* : justifiez cette définition. Quelle est la valeur d'équilibre de  $|\psi|^2$  pour  $T < T_c$  ?

La supraconductivité du système MgB<sub>2</sub> a été mise en évidence en 2001. Ce système très simple défraya la chronique par sa valeur particulièrement élevée de  $T_c$  (jusqu'à  $\sim 39\text{K}$ ) mais surtout du fait de sa structure électronique particulière. En effet *deux bandes* participent à la supraconductivité et tout se passe alors comme si *deux supraconducteurs coexistent dans un même matériau*. On note  $\xi_1, \lambda_1, m_1$  et  $T_{c1}$  (resp.  $\xi_2, \lambda_2, m_2$  et  $T_{c2}$ ) les grandeurs caractéristiques du supraconducteur 1 (resp. du supraconducteur 2).

2) Rappelez la définition de ces différentes grandeurs.

$$\Delta F \text{ s'écrit alors : } \Delta F = \alpha_1 |\psi_1|^2 + \alpha_2 |\psi_2|^2 + \frac{1}{2} \beta_1 |\psi_1|^4 + \frac{1}{2} \beta_2 |\psi_2|^4 - \gamma (\psi_1^* \psi_2 + \psi_1 \psi_2^*) + \dots$$

3) Complétez les « ... » laissés libres dans l'écriture de  $\Delta F$  ci-dessus.  $\gamma$  est le paramètre de couplage (indépendant de  $T$ ) entre les deux bandes, exprimez  $\beta_i$  en fonction des grandeurs caractéristiques des deux supraconducteurs, ce paramètre dépend-il de  $T$  ?

4) Exprimez  $\Delta F$  sous la forme

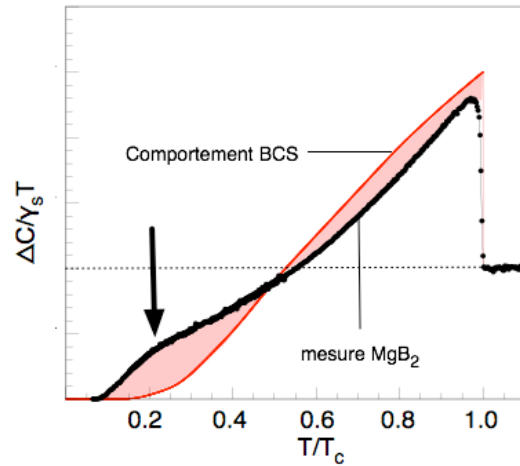
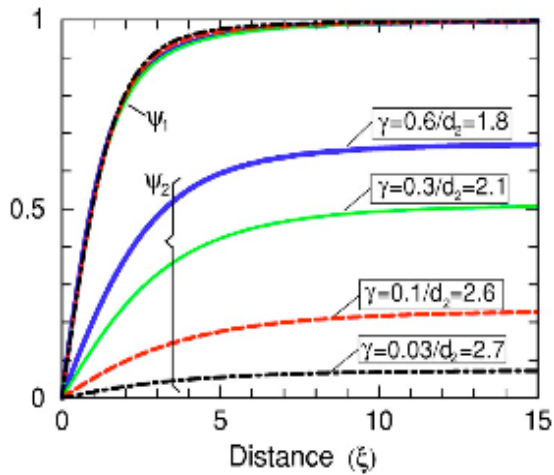
$$\Delta F = [\psi_1 \quad \psi_2] M \begin{bmatrix} \psi_1^* \\ \psi_2^* \end{bmatrix} + \frac{1}{2} \beta_1 |\psi_1|^4 + \frac{1}{2} \beta_2 |\psi_2|^4 + \dots \quad \text{où } M \text{ est une matrice } 2 \times 2.$$

5) Par analogie avec la définition de  $T_c$  donnée en Q.1, montrez que la température critique du composé est donnée par :  $\frac{T_c}{T_{c1}} = \frac{1+A}{2} \pm \sqrt{\left[\frac{1-A}{2}\right]^2 + A \left[\frac{\gamma}{B}\right]^2}$ . Tracez l'évolution des deux valeurs possibles de  $T_c$  en fonction de  $\gamma^1$ .

6) On note  $\rho = \psi_2 / \psi_1$ , on a alors  $\rho^2 = \frac{\alpha_2 - \gamma / \rho}{\alpha_1 - \gamma \rho} \frac{\beta_1}{\beta_2}$ , justifiez cette équation par analogie au cas d'un système à une bande (Q.1), comment cette équation se simplifie-t-elle pour  $\rho \ll 1$

7) La courbe ci-dessous (figure de gauche) trace l'évolution de  $\psi_1$  et  $\psi_2$  avec  $r$  (en unité de  $\xi = \xi_1$ ) pour différentes valeurs  $\gamma$  (en unité de  $\alpha_1(0)$ ). Les valeurs correspondantes de  $d_2$  ( $= \xi_2$ , en unité de  $\xi_1$ ) sont également indiquées. Cette simulation a été réalisée pour  $\alpha_2(0)/\alpha_1(0) = 0.22$ ;  $T_{c1}/T_{c2} \sim 4$ ;  $T/T_{c1} = 0.7$ . A quelle « distance » ( $r$ ) cette figure fait-elle référence ? Dédurre de cette simulation, la valeur de  $\beta_1/\beta_2$  (à partir de 6). Pourquoi  $\psi_2$  tend-elle vers zéro pour  $\gamma = 0$ .

<sup>1</sup> Les bandes couplées ne présentent qu'une valeur commune de  $T_c$  égale à la plus grande de ces deux valeurs.



8) En écrivant que  $dg_N = dg_S$  (où  $g_i$  est la densité « d'enthalpie » libre dans la phase supraconductrice ( $i=S$ ) et normale ( $i=N$ )) le long de la ligne de transition  $H=H_c(T)$ , calculez la valeur du saut d'entropie ( $\Delta s$ ) à la transition puis de  $\Delta C = C_s - C_N = T \left( \frac{\partial \Delta s}{\partial T} \right)_{H=H_c}$

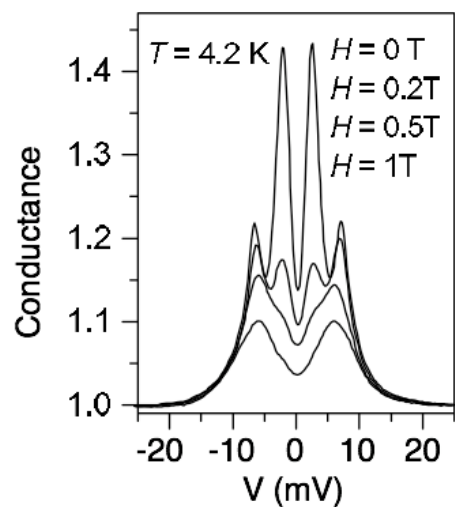
Exprimez  $\Delta C$  pour  $T=T_c$  en fonction de  $H_c$  puis de  $\gamma_s T_c$  où  $\gamma_s$  est le coefficient de Sommerfeld<sup>2</sup> (dans le cadre de la théorie BCS).

9) La courbe ci-dessus (figure de droite) présente l'évolution de  $\Delta C/\gamma_s T$  en fonction de  $T/T_c$  pour un cristal de  $MgB_2$  (trait gras) en comparaison de l'évolution attendue dans le cadre de la théorie BCS. Comment peut-on interpréter la « bosse » vers  $T/T_c \sim 0.25$  dans le cas de  $MgB_2$  (marquée par la flèche verticale). Quelle courbe aurait-on obtenue pour  $\gamma = 0$  ?

10) Tracer (schématiquement) l'évolution de la différence d'entropie  $\Delta S = S_S - S_N$  en fonction de  $T$  pour (i) le cas BCS (ii)  $MgB_2$ . Vers quelle valeur  $\Delta C/\gamma_s T$  tend-elle pour  $T=0$  ? Que peut-on en conclure sur la capacité qu'a une paire de Cooper à transporter la chaleur ?

11) La figure ci-contre reporte la conductance d'une jonction métal- $MgB_2$  en fonction de la tension appliquée sur cette jonction. 1234

Les pics clairement visibles sont liés aux pics présents dans la densité d'états du composé. Quelle est l'origine de ces pics. Quelles sont les valeurs des gaps associés aux deux bandes ?



12) Estimez la valeur du champ critique ( $H_{c2}$ ) de la bande (2) présentant le plus petit des deux gaps et la valeur de la longueur de cohérence ( $\xi_2$ ) associée à ce champ. Pour la bande (1)  $B_{c2} = 3T$ , donnez la valeur attendue pour le rapport  $\xi_2/\xi_1$ . Comparez cette valeur à celle de  $d_2/\xi_1$  issue de la figure présentée en 8<sup>3</sup>, conclusion ? Quelle est la valeur du rapport entre les

<sup>2</sup>  $H_c(T \rightarrow T_c) = 1.74 H_c(0)(1 - T/T_c)$  et  $\gamma_s = 2 \frac{\pi^2}{3} k_B^2 g(E_F)$  où  $g(E_F)$  est la densité d'états au niveau de Fermi

<sup>3</sup> Rappel :  $\psi_1/\psi_2 = \Delta_1/\Delta_2$

vitesses de Fermi des deux bandes.